

# LA FORCE DE VAN DER WAALS

(Centrale-Supélec - PC - 2020)

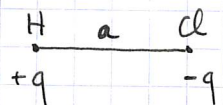
Q1.

$$P = (+q)$$

$$N = (-q)$$

Dipôle électrostatique: Doublet de charges ponctuelles opposées séparées par une distance très faible par rapport aux autres échelles de longueur du problème.

Q2. Molécule HCl



$$p \approx e \cdot a$$

$$e \approx 10^{-19} C$$

$$a \approx 10^{-10} m$$

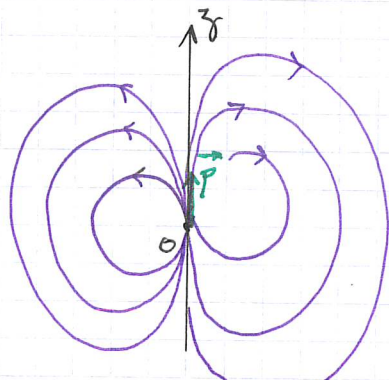
$$\Rightarrow p \approx 10^{-29} C \cdot m$$

Q3.  $r \gg a$ , où  $a$ : taille du dipôle

Q4. Relation champ-potiel:  $\vec{E} = -\nabla V$  où  $V = \frac{\vec{p} \cdot \vec{r}}{4\pi\epsilon_0 r^3} = \frac{p \cos\theta}{4\pi\epsilon_0 r^2}$

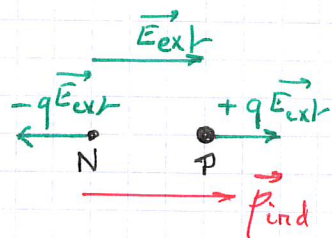
$$\Rightarrow \vec{E} = \frac{\vec{p}}{4\pi\epsilon_0 r^3} (2 \cos\theta \hat{e}_r + \sin\theta \hat{e}_\theta)$$

Q5.



Q6. Le champ  $\vec{E}_{ext}$  génère des forces électriques de  $\vec{F}_{ext}$  sur les charges positives et négatives du moyen et négatifs du cortège électrique. Ce la entraîne une séparation des barycentres des charges positives et des charges négatives (P et N) qui aboutit à constituer ainsi un dipôle.

Pour  $\vec{E}_{ext}$  peu intense et lentement variable dans le temps, la relation entre  $\vec{p}$  et  $\vec{E}_{ext}$  est linéaire.

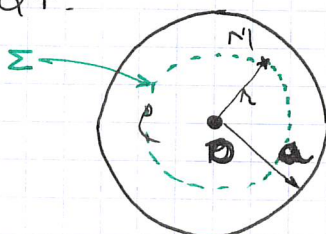


$$(q > 0)$$

Compte tenu des sens des forces appliquées,  $\vec{E}_{ext}$  et  $\vec{p}$  sont de même sens donc  $\alpha > 0$ .

$$\alpha \text{ en } m^3$$

Q7.



$$\times \rho: \text{densité volumique charge} : \rho = \frac{e}{\frac{4}{3}\pi a^3}$$

$$\times \text{Force subie par l'électron} : \vec{F} = -e \vec{E}$$

Calcul de  $\vec{E}$  par le théorème de Gaus:

- Tout plan contenant (O|M) est plan de symétrie  $\Rightarrow \vec{E}(M) = E(M) \hat{e}_r$
- La répartition de charge uniforme est invariante par toute rotation de centre O  $\Rightarrow \vec{E}(M) = \vec{E}(N)$
- Surface de Gaus S: sphère de centre O, de rayon r.

$$\oint \vec{E} \cdot d\vec{s} = \oint E(r) \vec{e}_r \cdot d\vec{s} \vec{e}_r = 4\pi r^2 E(r).$$

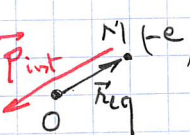
Théorème de Gauss :  $\oint \vec{E} \cdot d\vec{s} = \frac{Q_{int}}{\epsilon_0}$  où  $Q_{int} = \rho \times \frac{4}{3}\pi r^3 = \frac{e(r)}{\epsilon_0} r^3$

$$\Rightarrow \vec{E}(r) = -\frac{er}{4\pi \epsilon_0 r^3} \vec{e}_r \quad \text{d'où} \quad \vec{F} = -\frac{e^2 r}{4\pi \epsilon_0 r^3} \vec{e}_r$$

En posant  $R = \frac{e^2}{4\pi \epsilon_0 r^3 \epsilon_0}$ , :  $\vec{F} = -R \vec{r}$  est assimilable à une force de rappel élastique.

Q8 - Appliquons le principe fondamental de la dynamique à l'électron à l'équilibre dans le référentiel du moyen.

$$\vec{a} = -R \vec{r}_{eq} - e \vec{E}_{ext} \rightarrow \vec{r}_{eq} = -\frac{e \vec{E}_{ext}}{R} = -\frac{4\pi r^3 \epsilon_0 \vec{E}_{ext}}{e} = r_{eq}$$

Q9 - 

$$\vec{r}_{int} = e \cdot (-\vec{r}_{eq}) = 4\pi \epsilon_0 r^3 \vec{E}_{ext} \Rightarrow r \approx 4\pi r^3$$

AN:  $r \approx 10^{-10} \text{ m}$  taille de l'atome.

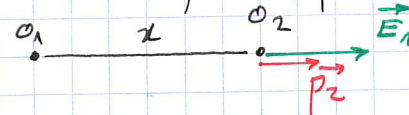
$$r \approx 10^{-29} \text{ m}^3$$

Q10 - Le cortège électronique est en mouvement incessant, générant un moment dipolaire instantané. Ce dernier, génère un champ électrique dipolaire qui induit un dipôle sur l'atome voisin, et inversement.

Q11 - Posons :  $\vec{E}_1$  : champ dipolaire créé par le dipôle (1).

\*  $E_{p2}$  : énergie potentielle du dipôle (2) dans le champ créé par (1).

$$E_{p2} = -\vec{p}_2 \cdot \vec{E}_1 = -p_2 E_1$$



\* Force subie par (2) :  $\vec{F}_{1/2} = -\nabla E_{p2}$

$$\vec{E}_1(O_2) = \vec{E}_1(r=x, \theta=0) = E_1(x, \theta) \vec{e}_x \Rightarrow \nabla E_{p2} = \frac{\partial E_{p2}}{\partial x} \vec{e}_x$$

et on

$$\vec{F}_{1/2} = p_2 \frac{dE_1}{dx} \vec{e}_x$$

Q12 -  $\vec{E}_1 = \frac{p_1}{4\pi \epsilon_0 r^3} (2 \cos \theta \vec{e}_r + \sin \theta \vec{e}_\theta)$  ;  $O_2 (r=x, \theta=0)$

$$\Rightarrow \vec{E}_1(O_2) = \frac{p_1}{4\pi \epsilon_0 x^3} 2 \underbrace{\vec{e}_r (\theta=0)}_{\vec{e}_x}$$

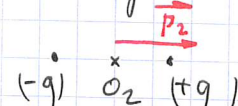
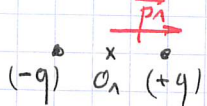
$$\vec{E}_1(O_2) = \frac{p_1}{4\pi \epsilon_0 x^3} \vec{e}_x$$

$$\frac{dE_1}{dx} = -\frac{3p_1}{2\pi \epsilon_0 x^4}$$

Par ailleurs  $\vec{p}_2 = \alpha \epsilon_0 \vec{E}_1(O_2) = \alpha \frac{p_1}{2\pi x^3} \vec{e}_x$

D'où  $\vec{F}_{1/2} = -\frac{3p_1 \alpha}{4\pi \epsilon_0 x^7} \vec{e}_x$  où on pose  $K = -\frac{3p_1 \alpha}{4\pi \epsilon_0 x^7} < 0$

Q13.  $\vec{F}_{1/2}$  est attractive. En effet, si on représente les dipôles avec des charges ponctuelles



✓

les charges plus proches sont de signes opposés donc s'attirent.

Q14.  $\vec{F}_{1/2} = -\nabla E_{\text{point}} = -\frac{d}{dr} (E_{\text{point}}) \Rightarrow E_{\text{point}} = \frac{\pi^2 \alpha}{6 \pi \epsilon_0 r^6}$

Remarques :  $E_{\text{point}} = -\frac{1}{2} \vec{p}_1 \cdot \vec{E}_1(r_2)$

Q15.  $[f] = \frac{[\text{Force}]}{L^2} = \frac{[\text{Travail}]}{L} \times \frac{1}{L} = \frac{[\text{Énergie}]}{L^3} = \left[ \frac{A}{6\pi D^3} \right] \Rightarrow [A] = [\text{Énergie}]$

Q16. N : nombre de spatules total :  $N = 6.10^6 \text{ stéules} \times 500 \text{ spatules}$   
 $N = 3.10^9 \text{ spatules}$

A l'équilibre :  $\xi \cdot N \cdot f_S = mg$

où  $m = 50 \text{ g} \cdot \text{m}^{-2}$ ;  $S = (0,2 \cdot 10^{-6})^2 \text{ m}^2$   
 $g \approx 10 \text{ m s}^{-2}$

$\xi = \frac{6\pi D^3 mg}{N S}$

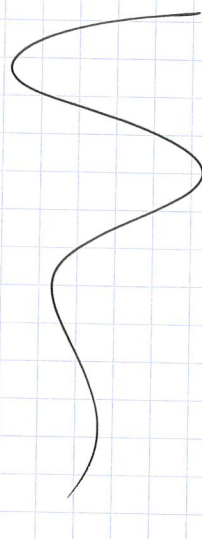
$\xi \approx \frac{60 \cdot 10^{-27} \cdot 5 \cdot 10^{-2} \cdot 10}{3 \cdot 10^9 \cdot 10^{-19} \cdot 4 \cdot 10^{-14}} \rightarrow \xi \approx 1\%$

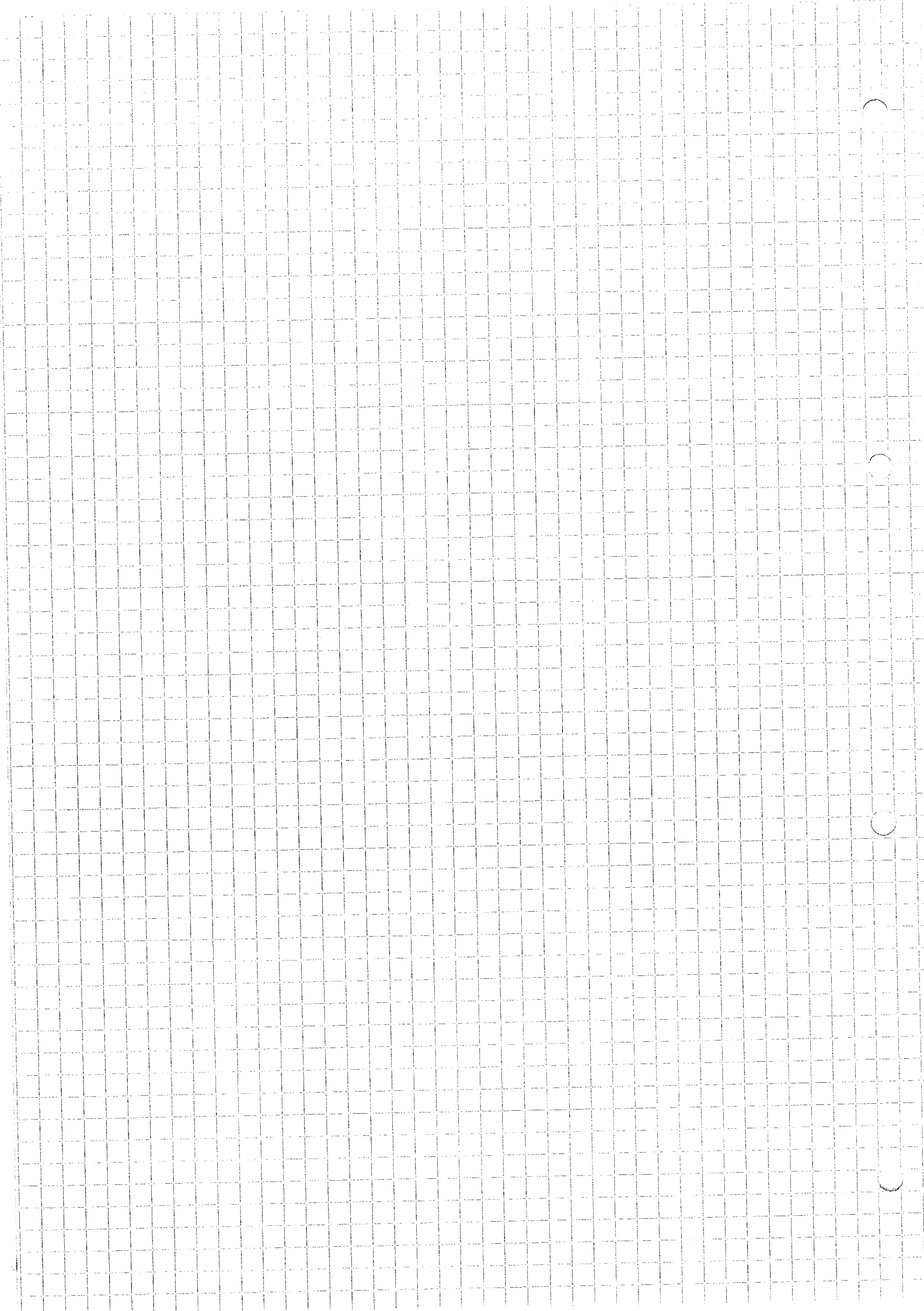
$\xi$  : proportion de spatules cherchée.

L'équipe de Kellar Autumn trouve expérimentalement  $\xi_{\text{exp}} = 0,4\%$ .

il y a donc une autre cause d'adhérence s'ajoutant aux interactions de van der Waals, par exemple un effet ventouse mettant à profit la force de pression atmosphérique.

Le gecko doit assurer son adhérence même en mouvement donc avec une perte de contact d'un moins une patte à la fois.  
Il lui faut donc mobiliser une proportion  $\xi > 1\%$





# EXEMPLES D'ÉLECTRICITÉ DANS L'ATMOSPHÈRE

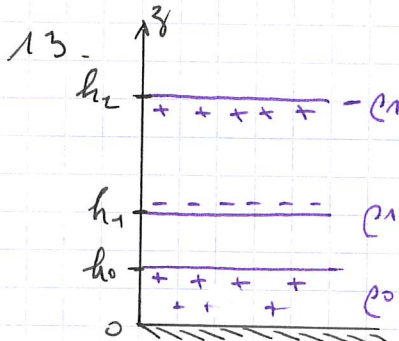
(Concours National Commun - MP - 2018)

11. Équation de Maxwell-Gauss:  $\operatorname{div} \vec{E} = \frac{\rho_0}{\epsilon_0}$  où  $\vec{E} = E(z) \hat{u}_z$

$$\rightarrow \frac{dE}{dz} = \frac{\rho_0}{\epsilon_0} \rightarrow E(z) = \frac{\rho_0}{\epsilon_0} z \quad \boxed{\text{où } E(0) = 0.}$$

12. De même pour  $h_0 \leq z \leq h_1$ ,  $\operatorname{div} \vec{E} = 0 \rightarrow \frac{dE}{dz} = 0$   
donc  $E(z)$  est uniforme:  $E(z) = E_0$

Par continuité en  $z = h_0$ :  $E_0 = \frac{\rho_0 h_0}{\epsilon_0} \quad \text{où } \rho_0 > 0$



Variation linéaire de  $\rho(z)$ :  $\frac{d\rho}{dz} = \frac{\rho(h_2) - \rho(h_1)}{h_2 - h_1} = -\frac{2\rho_1}{h_2 - h_1}$

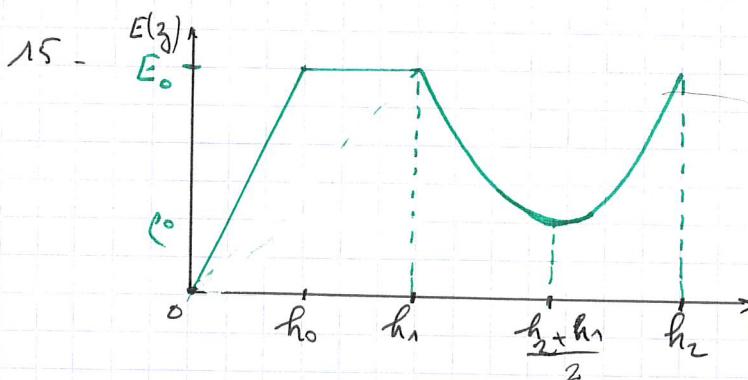
Par intégration  $\rho(z) - \rho(h_1) = -\frac{2\rho_1}{h_2 - h_1}(z - h_1)$

$$\Rightarrow \rho(z) = -\frac{2\rho_1}{h_2 - h_1}(z - h_1) + \rho_1 \quad \boxed{\text{où } \rho_1 < 0.}$$

14. Comme plus haut:  $\frac{dE}{dz} = \frac{\rho(z)}{\epsilon_0} = \frac{\rho_1}{\epsilon_0} \left(1 - \frac{2}{h_2 - h_1}(z - h_1)\right)$

On intègre:  $E(z) = \frac{\rho_1}{\epsilon_0} \int_{h_1}^{z_1} \left[1 - \frac{2}{h_2 - h_1}(z - h_1)\right] dz + E(h_1)$   
 $= \frac{\rho_1}{\epsilon_0} \left[ (z - h_1) - \frac{z^2 - h_1^2}{h_2 - h_1} + \frac{2h_1(z - h_1)}{h_2 - h_1} \right] + E_0 \quad \text{par continuité en } h_1.$

$$\rightarrow E(z) = \frac{\rho_1}{\epsilon_0} \left[ (z - h_1) \frac{h_2 + h_1}{h_2 - h_1} - \frac{z^2 - h_1^2}{h_2 - h_1} \right] + E_0 \quad \boxed{}$$



N.B.: Cherchons l'altitude du minimum de  $E(z)$

$$\frac{dE}{dz} = \frac{\rho_1}{\epsilon_0} \left(1 - \frac{2}{h_2 - h_1}(z - h_1)\right) = 0$$

pour  $z = \frac{h_1 + h_2}{2}$

\*  $E(h_2) = E(h_1) = E_0$

21. Soit des mailles:  $u_C + u = 0 \rightarrow \frac{Q(t)}{C} - R_i i = 0$

où  $i = -\dot{Q} \rightarrow \dot{Q} + \frac{Q}{RC} = 0 \quad \boxed{}$

22. On dérive une fois:  $-\frac{dI}{dt} - \frac{I}{RC} = 0 \quad \text{soit} \quad \frac{dI}{dt} + \frac{I}{RC} = 0$

$$\rightarrow I(t) = I_0 e^{-t/\tau} \text{ où } \tau = R\cdot C$$

33 - Charge écoulée :  $Q_{\text{tot}} = \int_0^{\infty} I(t) dt$  soit l'aire sous la courbe.

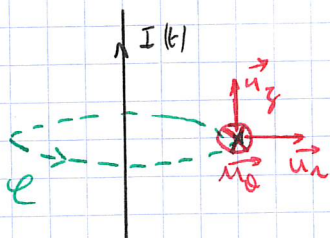
Géométriquement :  $Q_{\text{tot}} = \frac{1}{2} I_m t_1 + I_m (t_2 - t_1) + \frac{1}{2} I_m (t_3 - t_2)$

$$Q_{\text{tot}} = I_m \left( \frac{t_2 - t_1}{2} + \frac{t_3 - t_2}{2} \right) \quad Q_{\text{tot}} = 54,9 \text{ C.}$$

24 -  $E_e \approx \frac{1}{2} \frac{Q_{\text{tot}}^2}{C} = \frac{1}{2} Q_{\text{tot}} \cdot \frac{\mu_0}{C} \rightarrow E_e = \frac{1}{2} Q_{\text{tot}} \mu_0 \quad E_e = 0,275 \text{ MJ.}$

25 -  $C = \frac{Q_{\text{tot}}}{\mu_0} \quad C = 5,49 \mu\text{F}$

31 -



\*  $(M, \vec{u}_r, \vec{u}_z)$  est plan de symétrie donc

$$\vec{B}(M) = B(M) \vec{u}_\theta$$

\* La distribution du courant est invariante par translation quelconque selon  $\vec{u}_z$  et rotation quelconque d'angle  $\theta$  donc

$$\vec{B}(M) = \vec{B}(r)$$

$$\rightarrow \vec{B}(M) = B(r) \vec{u}_\theta$$

32. On applique le théorème d'Amperé dans l'ARQS à un contour circulaire de rayon  $r$ , admettant le courant comme axe.

$$\times r > a \quad \oint \vec{B} d\ell = \mu_0 I(t) \quad \text{soit} \quad \vec{B} = \frac{\mu_0 I(t)}{2\pi r} \vec{u}_\theta$$

$$\times r < a : \text{Intensity} = \frac{I(t)}{\pi a^2} \pi r^2 = I(t) \left( \frac{r}{a} \right)^2 \rightarrow \vec{B} = \frac{\mu_0 I(t)}{2\pi a^2} r \vec{u}_\theta$$

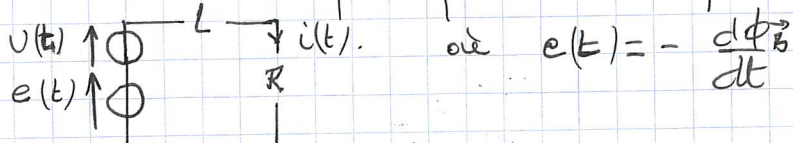
33. Force de Lorentz magnétique appliquée à un électron de l'éclair

$$\vec{F} = -e \vec{v} \wedge \vec{B} \quad \text{où} \quad \vec{v} = -v \vec{u}_z \rightarrow \vec{F} = -\frac{\mu_0 e v I(t) r}{2\pi a} \vec{u}_r$$

Donc le canal de l'éclair tend à diriger vers l'effet de cette force.

34. Le flux  $\Phi_B$  du champ magnétique généré par  $I(t)$  à travers le circuit domestique varie. ~~la loi de Faraday affirme qu'il apparaît alors une tension induite dans ce circuit~~

35 - Circuit électrique équivalent en présence d'éclair :



$$\Phi_B = \iint \frac{\mu_0 I(t)}{2\pi r} \vec{n}_0 \cdot d\vec{S} \quad \text{où } d\vec{S} = dS \vec{n}_0 \quad \begin{array}{l} \text{compte tenu de l'orientation} \\ \text{choisie de } \vec{n}(t) \end{array}$$

cadre

$$\Phi_B = \frac{\mu_0 I(t) d}{2\pi} \int_{D-d}^{D+d/2} \frac{dr}{r} = \frac{\mu_0 I(t) d}{2\pi} \ln \left( \frac{D+d}{2D-d} \right)$$

d'où  $e(t) = -\frac{\mu_0 d}{2\pi} \ln \left( \frac{2D+d}{2D-d} \right) \cdot \frac{dI}{dt}$

Posons  $M = \frac{\mu_0 d}{2\pi} \ln \left( \frac{2D+d}{2D-d} \right)$

mutuelle inductance

soit des mailles :  $U(t) + e(t) = L \frac{di}{dt} + Ri$

d'où l'équation différentielle

$$\frac{di}{dt} + \frac{R}{L} i = -\frac{M}{L} \frac{dI}{dt} + \frac{U_m \cos(\omega t)}{L}$$

361.  $|e(t)|_{\max} = M \frac{dI}{dt} \Big|_{\max} \rightarrow E = \frac{M}{U_m} \frac{dI}{dt} \Big|_{\max} \leq 1\%$

si  $M \leq \frac{U_m}{|dI/dt|_{\max}} \times 1\% = M_{\max}$  ; Posons l'approximation  $d \ll D$

$$\ln \left( \frac{D+d/2}{D-d/2} \right) = \ln \left( 1 + \frac{d}{2D} \right) - \ln \left( 1 - \frac{d}{2D} \right) \approx \frac{d}{D} \Rightarrow M \approx \frac{\mu_0 d^2}{2\pi D}$$

d'où  $\frac{\mu_0 d^2}{2\pi D} \leq M_{\max} \rightarrow D \geq \frac{\mu_0 d^2}{2\pi M_{\max}} = D_{\min}$

362.  $D_{\min} = \frac{\mu_0 d^2}{2\pi U_m} \cdot \frac{|dI|_{\max}}{|dI/dt|_{\max}}$  A.N:  $\frac{dI}{dt} \Big|_{\max} \approx \frac{90 \cdot 10^3}{80 \cdot 10^{-6}} = 1,1 \cdot 10^9 \text{ A.s}^{-1}$

$$D_{\min} = 2 \cdot 10^1 \text{ m}$$



Par symétrie, on considère la densité de courant dans le sol radiale et invariante par rotation quelque part au dessus de O.

$$\vec{j}(r) = j(r) \vec{e}_r$$

Par définition  $I = \iint \vec{j} d\vec{S} = -j(r) 2\pi r^2 \Rightarrow \vec{j} = -\frac{I}{2\pi r^2} \vec{e}_r$

42. soi d'abn locale:  $\vec{j} = \vec{E} \rightarrow \vec{E} = \vec{j} = -\frac{I}{2\pi r^2} \vec{e}_r$

Relation champ potentiel:  $\vec{E} = -\vec{\text{grad}} V = -\frac{dV}{dr} \vec{e}_r$

Par intégration  $\int_{V(\infty)=0}^{V(r)} dV = + \int_{\infty}^r \frac{I}{2\pi r^2} dr \Rightarrow V(r) = -\frac{I}{2\pi r}$

$$V_A - V_B = \frac{I}{2\pi r} \left( \frac{1}{0B} - \frac{1}{0A} \right) = \frac{I}{2\pi r} \left( \frac{1}{D+p} - \frac{1}{D} \right) \Rightarrow V = V_A - V_B = \frac{-Ip}{2\pi r D(D+p)}$$

5. \* Intensité du courant parcourant l'homme. loi d'Ishii:  $i_H = \frac{|V|}{R}$

$$i_H = \frac{Ip}{R \ln \gamma D(D+p)} \approx \frac{Ip}{R \ln D^2 R} \text{ car } p \ll D.$$

$$i_H \leq I_{max} \text{ si } D > D_{min} = \sqrt{\frac{Ip}{R \ln I_{max}}} \quad \underline{\text{A.N.: } D_{min} \approx 3 \cdot 10^1 \text{ m}}$$

\* L'électrochoc peut s'accompagner d'un effet Joule qui augmente la température du corps.

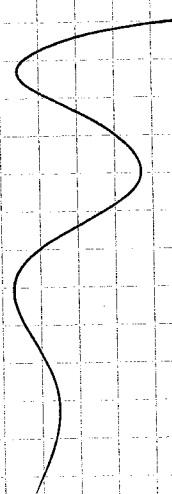
Considérons  $i_H \leq I_{max}$  (l'homme reste vivant)

$$\begin{aligned} \text{Energie Joule: } W_J &\leq R I_{max}^2 \Delta t \\ W_J &= mc \Delta T \end{aligned} \quad \Rightarrow \quad \Delta T \leq \frac{R I_{max}^2 \Delta t}{mc}$$

A.N.: Soit  $m = 90 \text{ kg}$ ,

$$\Delta T \leq 0,5 \cdot 10^3 \text{ } ^\circ\text{C}$$

Même si  $i_H < I_{max}$ , l'échauffement est tel que le corps peut entrer en ébullition



## LA FONDRE

(Mines-Torts - MP - 1997)

1- Équation de Maxwell-Gauss:  $\operatorname{div} \vec{E} = \frac{\rho}{\epsilon_0}$  où  $\vec{E} = E \vec{e}_y$  (cf énoncé)

En négligeant les effets de bords (invariance par translations selon  $\vec{e}_x$  et  $\vec{e}_y$ )

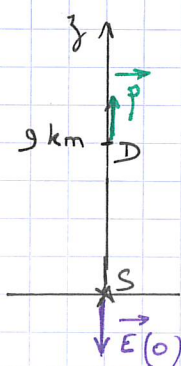
$$\vec{E} = E(y) \vec{e}_y \quad \text{d'où} \quad \operatorname{div} \vec{E} = \frac{dE}{dy} = \frac{\rho}{\epsilon_0}$$

\* zone 1:  $\frac{dE}{dy} < 0 \Rightarrow \rho < 0$  mais le schéma indique malgré cela  $\rho > 0$ . C'est dû à une charge superficielle au niveau du sol (non représentée)

\* zone 2 et 3:  $\frac{dE}{dy} < 0 \Rightarrow \rho < 0$

\* zone 3:  $\frac{dE}{dy} > 0 \Rightarrow \rho > 0$

2- Champ dipolaire:  $\vec{E} = \frac{P}{4\pi\epsilon_0 R^3} (2\cos\theta \vec{e}_x + \sin\theta \vec{e}_y)$

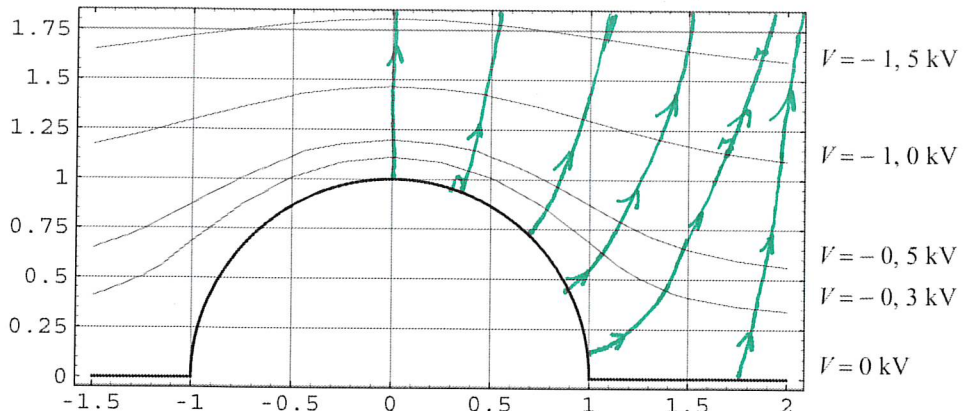


$$\text{En } S: \quad \lambda = DS \quad ; \quad D = \pi$$

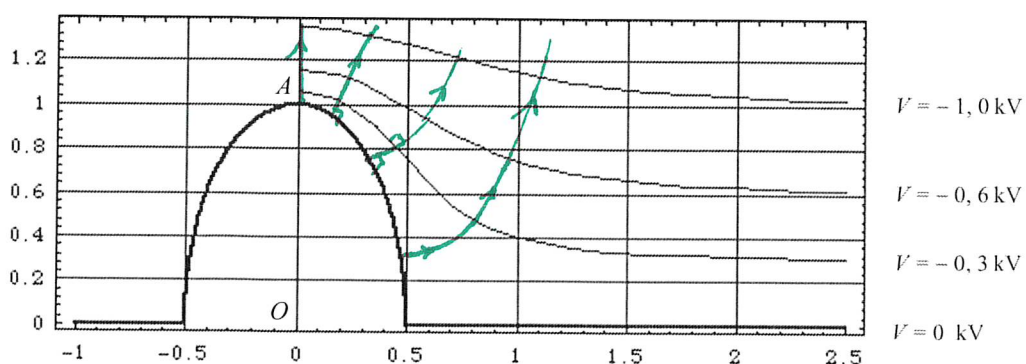
$$\text{d'où} \quad \vec{E}(S) = -\frac{P}{4\pi\epsilon_0 DS^3} \vec{e}_y$$

$$P = 4\pi\epsilon_0 E DS^3 \quad | \quad \text{A.N.: } P = 4 \cdot 10^5 \text{ C.m}$$

3-



**Figure 2a :** allure de quelques lignes équipotentielles au voisinage d'une demi-sphère conductrice maintenue au potentiel du sol. Très loin de ce conducteur, le champ électrique est uniforme. L'unité de longueur est le rayon de la sphère.



**Figure 2b :** allure de quelques lignes équipotentielles (pour x positif) au voisinage d'un demi-ellipsoïde de révolution conducteur maintenu au potentiel du sol. Très loin de ce conducteur, le champ électrique est uniforme et parallèle au grand axe de l'ellipsoïde. L'unité de longueur est le demi-grand axe, OA, de l'ellipse. À titre documentaire : pour l'ellipsoïde est décrit par

5 - Qa "dans de l'aspérité, les équipotentialles successives sont distantes de  $0,5 \text{ m}$  et le rayon d'aspérité  $R$ .

$$E \approx \frac{\Delta V}{\Delta z} = \frac{0,5 \text{ kV}}{0,5 \text{ m}} = 1 \text{ kV.m}^{-1} \Rightarrow R = \frac{1}{E} = 10 \text{ cm.}$$

\* Au sommet de l'aspérité  $\Delta V \approx 0,3 \text{ kV}$  sur  $\Delta z = 0,12 \cdot R = 2,4 \text{ cm}$

$$\Rightarrow E \approx \frac{0,3}{2,4 \cdot 10^{-2}} = 125 \text{ kV.m}^{-1} \rightarrow E \approx 125 \text{ kV.m}^{-1}$$

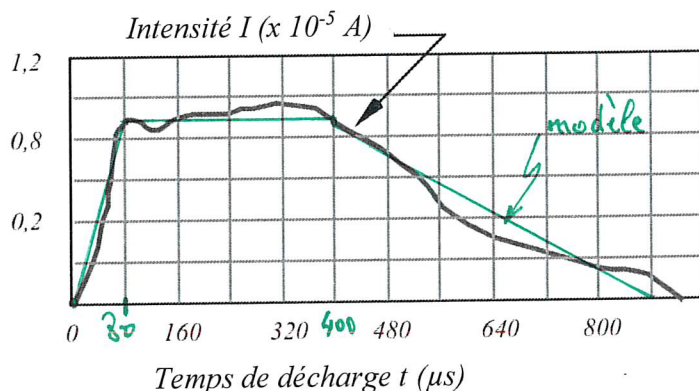
Qb Au sommet de l'aspérité  $\Delta V \approx 0,3 \text{ kV}$  sur  $\Delta z \approx 0,05 \text{ m} = 1 \text{ cm}$ .

$$\Rightarrow E \approx \frac{0,3}{10^{-2}} = 30 \text{ kV.m}^{-1} \rightarrow E = 30 \text{ kV.m}^{-1}$$

6 - L'évaluation précédente permet de mettre en évidence l'effet de pointe. Au voisinage d'un conducteur "pointu", par exemple un doigt, le champ est plus intense, pouvant dépasser le champ disruptif de l'air et ainsi générer des ionisations visibles (feux de Saint Elme)

7.  $Q = \int I(t) dt$  soit l'aire sous la courbe de  $I(t)$

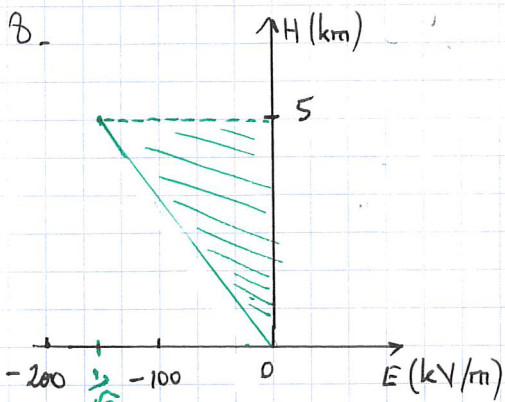
Courbe modèle



$$Q \approx \left[ \frac{1}{2} 0,9 \times 80 + (400-80) \times 0,9 + \frac{1}{2} (860-400) \times 0,9 \right] 10^5 \cdot 10^{-6}$$

$$\approx \left[ \frac{1}{2} 80 + 400-80 + \frac{1}{2} (860-400) \right] 0,09 \rightarrow Q \approx 5 \cdot 10^1 \text{ C}$$

$$I_m = \frac{Q}{\Delta t} \quad \text{où} \quad \Delta t = 860 \text{ } \mu\text{s} \rightarrow I_m = 5 \cdot 10^4 \text{ A}$$



$$U = - \int E dz \quad \text{sous l'aire hachurée}$$

$$U = \frac{1}{2} \times (150 \cdot 10^3 \times 5 \cdot 10^3) = 375 \text{ MV}$$

9 - Energie du condensateur:  $W = \frac{1}{2} C U^2$  où  $Q = CU$

$$\rightarrow W = \frac{1}{2} Q U \quad | \quad W = 1 \cdot 10^3 \text{ J} \quad \text{avec } U = 400 \text{ MV}$$

$$C = \frac{Q}{U} = 0,13 \mu\text{F}$$

10 - Pour récupérer cette énergie il faudrait:

- \* Un réseau de paratonnerres comme collecteurs de foudre.
- \* Un circuit dimensionné pour ne pas être détruit par des courants crîts de l'ordre de  $10^5 \text{ A}$ .
- \* Des condensateurs de capacité suffisante pour accumuler la charge déversée par la foudre.

11 - Le champ magnétique variable généré par l'éclair induit des f.e.m. parasites dans les circuits électriques parasites dans les circuits électriques.

Cet effet est le plus important lors du début de la décharge  $t < 80 \text{ ms}$ , lorsque la variation de courant est la plus brusque.

12 - 1<sup>er</sup> cas:  $D < H$ :  $L = D$



2<sup>nd</sup> cas:  $D > H$

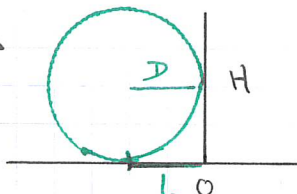


$$H = D(1 - \cos\theta)$$

$$\sin\theta = \frac{L}{D}$$

$$\Rightarrow \cos^2\theta = (1 - \frac{H}{D})^2 \rightarrow \sin^2\theta = 1 - \cos^2\theta = 1 - (1 - \frac{H}{D})^2$$

$$\text{Donc } L = D \sqrt{1 - (1 - \frac{H}{D})^2}$$



$I_e (\text{kA})$	3	10	30	50
$D (\text{m})$	$2 \cdot 10^1$	$5 \cdot 10^1$	$1 \cdot 10^2$	$1 \cdot 10^2$
$L (\text{m})$	$20$	$4 \cdot 10^1$	$7 \cdot 10^1$	$9 \cdot 10^1$

14 - La tige de Franklin permet de protéger de la foudre une zone d'autour plus large que l'intensité crîte de l'éclair est élevée, et donc que les dommages seraient accrus.

15 - La symétrie sphérique de la prise de terre permet de supposer des lignes de courant radiales de centre C.



$$I \stackrel{\text{def}}{=} \iint_{\frac{1}{2} \text{sphère}(C, r)} j(r) dS = j(r) \cdot 2\pi r^2$$

$$\Rightarrow j(r) = \frac{I}{2\pi r^2}$$

$$\text{Loi d'Ohm locale: } \vec{J} = \frac{1}{\rho} \vec{E} \Rightarrow \vec{E} = \frac{\rho I}{2\pi r^2} \hat{er}$$

$$\text{Relation champ potentiel: } \vec{E} = -\vec{\nabla} V$$

$$\rightarrow V(r) - V(\infty) = - \int_{\infty}^r \vec{E} dl = - \frac{Ie}{2\pi} \int_{\infty}^r \frac{dr}{r^2} = \frac{Ie}{2\pi r} \rightarrow V(r) = \frac{Ie}{2\pi r}$$

$$17. U = V(a) = \frac{Ie}{2\pi a}$$

$$18. R = \frac{\rho}{2\pi a} < R_{\max} \Rightarrow a > \frac{\rho}{2\pi R_{\max}} \quad \underline{\text{A.N. } a > 0,5 \text{ cm}}$$

$$19.$$

$$V_p = V(A) - V(B) = \frac{Ie}{2\pi} \left( \frac{1}{r_A} - \frac{1}{r_B} \right) = \frac{Ie}{2\pi} \frac{r_B - r_A}{r_A r_B}$$

ou  $r_A = r_0$ ,  $r_B = r_0 + p$

A.N.:  $r_0 = 10 \rightarrow V_p = 3 \text{ kV}$

$r_0 = 100 \rightarrow V_p = 8 \cdot 10^1 \text{ V.}$

$$20. \text{Courant d'électrolyse } I_{el} = \frac{V_p}{R_p} \quad \underline{\text{A.N.: à 10 m: } I_{el} = 3 \text{ A}}$$

$\underline{\text{à 100 m: } I_{el} = 32 \text{ mA}}$

$$21. I_{el} = \frac{Ie}{2\pi R_p} \frac{r_B - r_A}{r_A r_B}, \quad \text{A priori } r_A > 100 \text{ m} \Rightarrow r_B \approx r_A.$$

$$\rightarrow I_{el} = \frac{Ie}{2\pi R_p} \frac{r_B - r_A}{r_0^2} \rightarrow r_0 = \left[ \frac{Ie(r_B - r_A)}{2\pi R_p I_{el}} \right]^{1/2} \quad r_0 = 1 \text{ hm}$$

